

УДК 537.87 : 621.371

Н. А. Махмутов

ОТРАЖЕНИЕ ВОЛН
ОТ ТРЕУГОЛЬНОГО СЛОЯ

Введение. При расчете коэффициентов отражения и пропускания плоскостойких сред, для которых $\varepsilon(z)$ является некоторой заданной в интервале $z \in [a, b]$ функцией и $\varepsilon(z) \equiv 1$ вне этого интервала, обычно используются приближенные формулы [1]. Эти формулы получены из приближенных решений одномерного уравнения Гельмгольца

$$\frac{d^2 E}{dz^2} + k_0^2 \varepsilon(z) E = 0, \quad (1)$$

и их применимость ограничена достаточно плавными (с точки зрения использования приближения геометрической оптики) слоями.

В то же время для широкого класса плоскостойких сред известны точные решения уравнения (1) [1, 2], которые позволяют при довольно слабых ограничениях на параметры слоя получить более точные выражения для коэффициентов отражения и пропускания. В практических задачах исследования ионосферного распространения радиоволн представляет интерес отражение волн от слоев с параболическим и треугольным профилем $\varepsilon(z)$ [3]. При этом, в то время как свойства параболического слоя достаточно хорошо изучены (см. [1] и цитированную там литературу), задача отражения волн от треугольного слоя в литературе не рассматривалась. В то же время часто используемое приближение линейного полупространства [1] справедливо лишь для частот, существенно меньших критической, и требует малости просачивания.

Задача ставится следующим образом (рис. 1). Из области $z < 0$, $\varepsilon(z < 0) \equiv 1$, в направлении положительной оси z распространяется плоская волна единичной амплитуды, которая, испытывая частичное отражение от слоя $z \in [0, 2z_1]$, проходит в область $z > 2z_1$, $\varepsilon(z > 2z_1) \equiv 1$. В области $z < 0$ поле представляет сумму падающих и отраженных волн

$$E_I(z) = e^{ik_0 z} + R e^{-ik_0 z} \quad (2)$$

в области $z > 2z_1$ существуют только падающие волны:

$$E_{VI}(z) = D e^{ik_0(z-2z_1)}, \quad (3)$$

где R и D — комплексные коэффициенты отражения и пропускания, которые требуется определить.

Как видно из рис. 1, случай *a* моделирует «неотражающий» плазменный слой, в котором критическая частота меньше несущей частоты волны $(f_k/f)^2 = z_1/z_0 < 1$. Случай *б* моделирует «отражающий» плазменный слой, в котором $(f_k/f)^2 = z_1/z_0 > 1$ и волна проходит через область с $\varepsilon(z) < 0$.

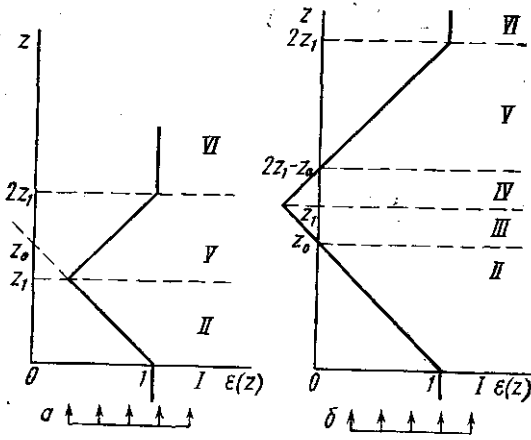


Рис. 1. Треугольный слой: *a* — «неотражающий», *б* — «отражающий». В областях II и III $\varepsilon(z) = 1 - z/z_0$, в областях IV и V $\varepsilon(z) = z/z_0 - (2z_1 - z_0)/z_0$

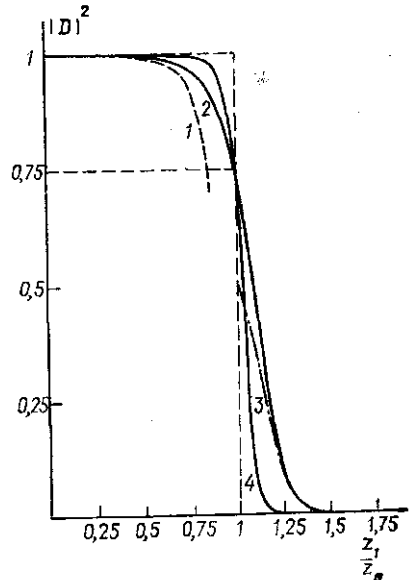


Рис. 2. Параметр z_0/λ_0 для кривых 1, 2, 3=1,2; для кривой 4 — 4,8

Неотражающий слой. Для треугольного «неотражающего» слоя (рис. 1, *a*) точное решение уравнения (1) в областях II и V может быть представлено в виде [2]:

$$E_{II}(z) = A_{II}^{(1)} t_{II}^{1/3} H_{1/3}^{(2)}(t_{II}) + A_{II}^{(2)} t_{II}^{1/3} H_{1/3}^{(1)}(t_{II}), \quad (4)$$

$$E_V(z) = A_V^{(1)} t_V^{1/3} H_{1/3}^{(1)}(t_V) + A_V^{(2)} t_V^{1/3} H_{1/3}^{(2)}(t_V), \quad (5)$$

где $t_{II}(z) = \frac{2}{3} k_0 z_0 \left(1 - \frac{z}{z_0}\right)^{3/2}$, $t_V(z) = \frac{2}{3} k_0 z_0 \left(\frac{z}{z_0} - \frac{2z_1 - z_0}{z_0}\right)^{3/2}$, $H_{1/3}^{(1,2)}$ — функции Ханкеля 1-го и 2-го рода соответственно [4], $A_{II, V}^{(1,2)}$ — комплексные постоянные.

Выражения для поля (2) — (5) должны удовлетворять граничным условиям (непрерывность E и $\frac{dE}{dz}$) в точках $z=0, z_1, 2z_1$, что дает

6 линейных алгебраических уравнений для определения 6 неизвестных: $R, A_{II, V}^{(1,2)}, D$. Точное решение этой системы довольно сложно и малоэффективно с точки зрения его практического использования, поэтому ограничимся практически важным случаем достаточно плавного слоя:

$$\frac{2}{3} k_0 z_0 \gg 1 \left(\frac{z_0}{\lambda_0} \gg 0,24 \right). \quad (6)$$

Это условие позволяет использовать для функций Бесселя от аргумента $\frac{2}{3} k_0 z_0$ асимптотические значения [4], что приводит к следующим выражениям для коэффициентов пропускания и отражения:

$$D = \frac{2k_0}{V 4k_0^2 + \theta^2(t_A)} e^{i \left[\frac{4}{3} k_0 z_0 + \frac{2\pi}{3} - \arctg \frac{\theta(t_A)}{2k_0} - 2\Phi(t_A) \right]}, \quad (7)$$

$$R = \frac{\theta(t_A)}{V 4k_0^2 + \theta^2(t_A)} e^{i \left[\frac{4}{3} k_0 z_0 - \frac{5\pi}{6} - \arctg \frac{\theta(t_A)}{2k_0} - 2\Phi(t_A) \right]}, \quad (8)$$

где

$$t_A = t_{II}(z_1) = t_V(z_1) = \frac{2}{3} k_0 z_0 \left(1 - \frac{z_1}{z_0} \right)^{3/2}, \quad \frac{z_1}{z_0} \in (0, 1], \quad \Phi(t_A) = \\ = \arctg \frac{N_{1/3}(t_A)}{J_{1/3}(t_A)}, \quad \theta(t_{II}) = \frac{\pi}{2} \left(\frac{2k_0 z_0}{3} \right)^{1/3} t_{II}^{2/3} [J_{1/3}^2(t_{II}) + N_{1/3}^2(t_{II})] = \frac{1}{m} -$$

обратный эффективный показатель преломления линейного слоя [2], точка сверху означает дифференцирование по z .

Практический интерес представляют коэффициенты пропускания и отражения по мощности, которые с учетом [4]

$$\dot{\theta}(t_A) = -\pi k_0 t_A [J_{1/3}(t_A) J_{-2/3}(t_A) + N_{1/3}(t_A) N_{-2/3}(t_A)] \quad (9)$$

можно представить в виде

$$|D|^2 = 1 - |R|^2 = \frac{1}{1 + \left(\frac{\pi t_A}{2} \right)^2 [J_{1/3}(t_A) J_{-2/3}(t_A) + N_{1/3}(t_A) N_{-2/3}(t_A)]^2}. \quad (10)$$

При условии

$$t_A = \frac{2}{3} k_0 z_0 \left(1 - \frac{z_1}{z_0} \right)^{3/2} \gg 1, \quad (11)$$

что соответствует частотам, существенно бóльшим критической, можно использовать асимптотические значения и для функций Бесселя от аргумента t_A , и выражение (10) переходит в

$$|D|^2 = \frac{36 t_A^2}{36 t_A^2 + 1} \ll 1, \quad (12)$$

$$|R|^2 = \frac{1}{36 t_A^2 + 1} \cong \frac{1}{16 k_0^2 z_0^2 \left(1 - \frac{z_1}{z_0} \right)^3} \ll 1. \quad (13)$$

При этом (13) соответствует формуле (16, 33) работы [1] для коэффициента отражения от скачка производной, полученной при условии справедливости приближения геометрической оптики вне скачка.

Другой предельный случай соответствует условию

$$z_1/z_0 \leq 1, \quad t_A \ll 1, \quad (14)$$

т. е. частотам, близким к критической (сверху). Для этого случая можно ограничиться первыми членами рядов для функций Бесселя, что приводит к

$$\lim_{t_A \rightarrow 0} |D|^2 = 0,75. \quad (15)$$

На рис. 2 представлена зависимость (10) от аргумента z_1/z_0 (область $z_1/z_0 \in (0, 1)$) при двух значениях параметра $z_0/\lambda_0 = 1,2; 4,8$. Для сравнения при $z_0/\lambda_0 = 1,2$ пунктиром изображена зависимость (12). Как видно из рисунка, отклонение приближенной кривой (12) от точной (10) становится существенным при наличии в слое области с малыми значениями ϵ (при частотах, близких к критической), что соответствует условию применимости геометрикооптического приближения.

Отражающий слой. Для треугольного «отражающего» слоя (рис. 1, б) точное решение уравнения (1) в областях II и V также может быть представлено в виде (4), (5). В областях же III и IV в соответствии с [1, 2] поля выражаются через модифицированные функции Бесселя

$$E_{III}(z) = A_{III}^{(1)} t_{III}^{1/3} I_{-1/3}(t_{III}) + A_{III}^{(2)} t_{III}^{1/3} I_{1/3}(t_{III}), \quad (16)$$

$$E_{IV}(z) = A_{IV}^{(1)} t_{IV}^{1/3} I_{-1/3}(t_{IV}) + A_{IV}^{(2)} t_{IV}^{1/3} I_{1/3}(t_{IV}), \quad (17)$$

$$\text{где } t_{III}(z) = \frac{2}{3} k_0 z_0 \left(\frac{z}{z_0} - 1 \right)^{3/2}, \quad t_{IV}(z) = \frac{2}{3} k_0 z_0 \left(\frac{2z_1 - z_0}{z_0} - \frac{z}{z_0} \right)^{3/2}.$$

Граничные условия для поля и нормальной производной в точках $z=0, z_0, z_1, 2z_1 - z_0, 2z_1$ дают 10 линейных алгебраических уравнений для определения 10 неизвестных: $R, A_{II}^{(1,2)}, A_{III, IV, V}, D$. В том же приближении (6) решение этой системы для D и R имеет вид

$$D = \frac{\sqrt{3}}{2} \frac{(I_{-1/3} I_{-2/3} - I_{1/3} I_{2/3}) e^{i \frac{4}{3} k_0 z_0}}{I_{-1/3} I_{-2/3} + I_{1/3} I_{2/3} + I_{1/3} I_{-2/3} e^{-i \frac{\pi}{3}} + I_{-1/3} I_{2/3} e^{i \frac{\pi}{3}}}, \quad (18)$$

$$R = \frac{1}{2} \frac{[I_{-1/3} I_{-2/3} + I_{1/3} I_{2/3} + 2(I_{1/3} I_{-2/3} + I_{-1/3} I_{2/3})] e^{i \left(\frac{4}{3} k_0 z_0 - \frac{\pi}{2} \right)}}{I_{-1/3} I_{-2/3} + I_{1/3} I_{2/3} + I_{1/3} I_{-2/3} e^{-i \frac{\pi}{3}} + I_{-1/3} I_{2/3} e^{i \frac{\pi}{3}}}, \quad (19)$$

где аргумент модифицированных функций Бесселя $t_B = t_{III}(z_1) = t_{IV}(z_1) = \frac{2}{3} k_0 z_0 \left(\frac{z_1}{z_0} - 1 \right)^{3/2}, \quad \frac{z_1}{z_0} \geq 1$.

В соответствии с (18), (19):

$$\begin{aligned} |D|^2 &= 1 - |R|^2 = \\ &= \frac{3/4 (I_{-1/3} I_{-2/3} - I_{1/3} I_{2/3})^2}{[I_{1/3} I_{-1/3} I_{2/3} I_{-2/3} + (I_{1/3}^2 + I_{-1/3}^2)(I_{2/3}^2 + I_{-2/3}^2) + (I_{1/3} I_{-2/3} + I_{-1/3} I_{2/3}) \times \\ &\quad \times (I_{1/3} I_{2/3} + I_{-1/3} I_{-2/3})]} \end{aligned} \quad (20)$$

При $t_B \rightarrow 0$ ($\frac{z_1}{z_0} \rightarrow 1$) это выражение сшивается с решением задачи a (см. рис. 2), а при $t_B \rightarrow \infty$ ($\frac{z_1}{z_0} \rightarrow \infty$)

$$\lim_{t_B \rightarrow \infty} |R|^2 = 1, \quad \lim_{t_B \rightarrow \infty} \arg R = \frac{4}{3} k_0 z_0 - \frac{\pi}{2}, \quad (21)$$

что соответствует результатам [1] (полное отражение).

Известное в литературе наиболее общее выражение для коэффициента просачивания через плавный слой с $\varepsilon(z) < 0$ имеет вид [1]

$$|D|^2 = 1 - |R|^2 = \frac{1}{e^{4t_B} + 1}. \quad (22)$$

Зависимость (22) для $z_0/\lambda_0 = 1,2$ изображена на рис. 2 штрих-пунктирной линией. Она дает хорошее совпадение с точной кривой только для $|D|^2 \ll 1$, т. е. для толстых слоев, для которых частота волн существенно меньше критической.

Рассмотренная задача может быть легко обобщена на случай наклонного отражения от слоя. Для этого следует во всех выражениях заменить $\varepsilon(z)$ на $\varepsilon(z) - \sin^2 \theta_0$ [1, 2], где θ_0 — угол отражения.

При этом условие (6) принимает вид

$$2/3 k_0 z_0 \cos^3 \theta_0 \gg 1, \quad \left(\frac{z_0}{\lambda_0} \cos^3 \theta_0 \gg 0,24 \right).$$

Аргументы цилиндрических функций в формулах (7)–(10) и (18)–(20) принимают вид:

$$t_A = \frac{2}{3} k_0 z_0 \left(\cos^2 \theta_0 - \frac{z_1}{z_0} \right)^{3/2}, \quad t_B = \frac{2}{3} k_0 z_0 \left(\frac{z_1}{z_0} - \cos^2 \theta_0 \right)^{3/2}.$$

Графики, представленные на рис. 2, следует растянуть по оси абсцисс в $\cos^2 \theta_0$ раз (граничное значение $|D|^2 = 0,75$ будет соответствовать $z_1/z_0 = \cos^2 \theta_0$).

Таким образом, в настоящей работе на основе точных решений уравнения Гельмгольца для линейного слоя получены аналитические выражения для комплексных коэффициентов отражения и пропускания треугольного слоя. Для частот, существенно больших и меньших критической, эти выражения дают количественное совпадение с известными приближенными формулами для просачивания волн через скачок производной и через слой с отрицательной диэлектрической проницаемостью; для частот, близких к критической, отличие становится существенным.

Следует отметить, что использованная здесь модель слоя имеет существенный недостаток — разрыв производной $d\varepsilon/dz$, что, вообще говоря, в реальных средах не имеет места, за исключением, может быть, спорадических слоев в ионосфере, где на малых расстояниях возможны резкие изменения вертикального градиента электронной концентрации. Однако, как отмечено в [1, с. 297], нет качественной разницы меж-

ду отражением от разрыва ε или $\frac{d\varepsilon}{dz}$ и отражением от всего переходного слоя, где на расстоянии $\leq \lambda_0$ происходит резкое, но непрерывное изменение ε или $\frac{d\varepsilon}{dz}$. Это дает основание предполагать, что представленные результаты мало чувствительны к некоторому сглаживанию точки разрыва $\frac{d\varepsilon}{dz}$, что будет соответствовать реальной ситуации.

СПИСОК ЛИТЕРАТУРЫ

1. Гинзбург В. Л. Распространение электромагнитных волн в плазме. М., 1967.
2. Виноградова М. Б., Гусев В. Д. «Радиотехника и электроника», 1974, 19, № 3, 481.
3. Ануфриева Т. А., Шапиро Б. С. Геометрические параметры слоя F2 ионосферы. М., 1976.
4. Ватсон Г. Н. Теория бесселевых функций. М., 1949.

Кафедра
волновых процессов

Поступила в редакцию
14.12.77